



Servicio
Meteorológico
Nacional
Argentina

EL FENÓMENO EL NIÑO – OSCILACIÓN DEL SUR (ENOS)

ESTADO ACTUAL: LA NIÑA DÉBIL

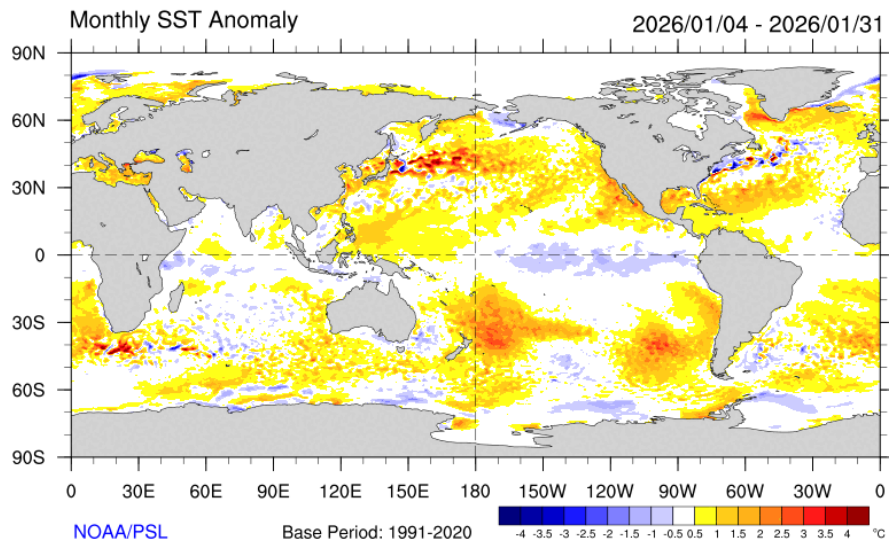
Actualizado: 02 de febrero de 2026

RESUMEN

Las condiciones del ENOS son consistentes con una fase débil de La Niña. La temperatura del agua del mar (TSM) en el océano Pacífico se mantuvo más fría que lo normal al este de la línea de fecha (180°). Los vientos alisios en el océano Pacífico estuvieron debilitados alrededor de la línea de fecha finalizando el mes. El índice de Oscilación del Sur (IOS) mensual retornó a valores positivos acordes una débil fase fría.

De acuerdo a los modelos dinámicos y estadísticos, en promedio, en el trimestre febrero-marzo-abril de 2026 hay probabilidades superiores al 80% de transición a condiciones neutrales.

TEMPERATURA DE AGUA DE MAR (TSM) - PROMEDIO MENSUAL



De manera similar a los meses previos, durante enero en promedio, la temperatura del agua del mar en el océano Pacífico ecuatorial se mantuvo más fría que lo normal entre la línea de fecha y la costa sudamericana (Figura 1). Al oeste de la línea de fecha, las anomalías fueron superiores a lo normal.

Figura 1: Anomalías de la temperatura superficial del mar del 4 de enero al 31 de enero de 2026. Período de referencia 1981-2010 - Fuente: NOAA-NCEP/CPC

TSM –EVOLUCIÓN SEMANAL POR REGIONES

Durante los primeros meses de 2025, las TSM en las regiones Niño (Figuras 2 y 3) tuvieron un calentamiento, quedando con anomalías positivas. Desde julio de 2025 las TSM mostraron un enfriamiento sostenido en la mayoría de las regiones Niño.

Durante diciembre todas las regiones Niño mantuvieron TSM más frías que lo normal, aunque mostrando aumento respecto meses previos. La siguiente tabla muestra las anomalías en la semana que terminó el 31 de enero de 2026:

Niño 4	-0.3 °C
Niño 3.4	-0.8 °C
Niño 3	-0.6 °C
Niño 1+2	-0.2°C

Tabla: anomalías de TSM por regiones Niño - Fuente: IRI

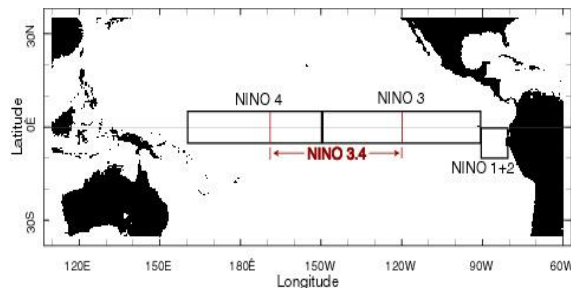


Figura 2: Regiones Niño - Fuente: IRI

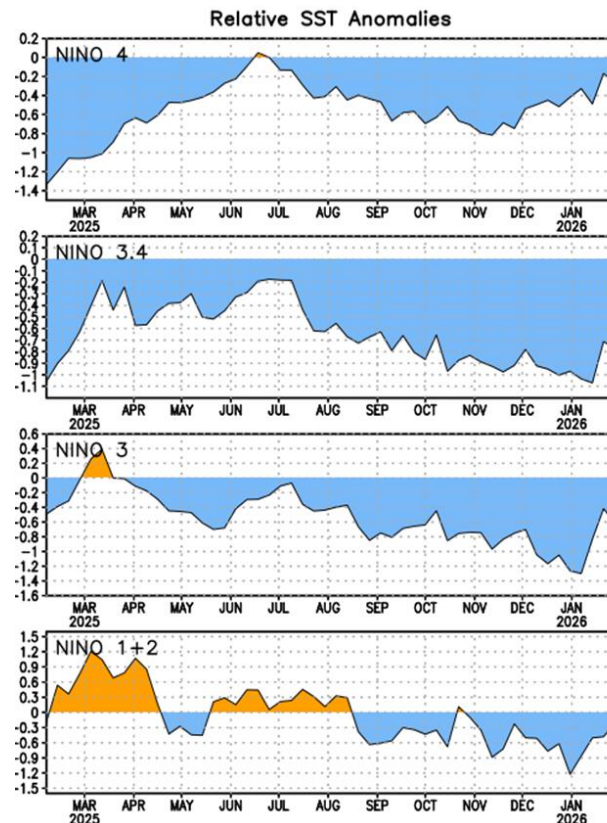


Figura 3: Evolución semanal de la anomalía de TSM en las Regiones Niño - Fuente: Climate Prediction Center (CPC)-NOAA

TSM-SUBSUPERFICIAL

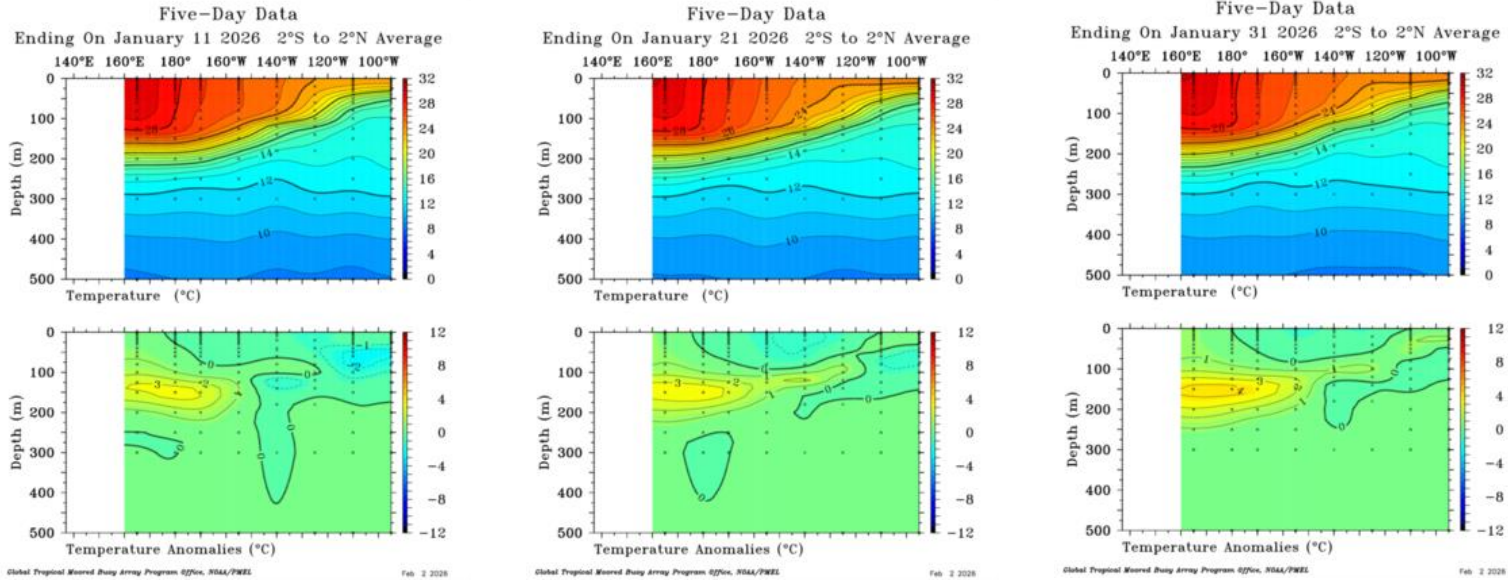


Figura 4 – Corte profundidad vs. longitud de la temperatura del agua del mar y su anomalía en el Pacífico ecuatorial, correspondiente al promedio pentádico que termina el 11 de enero (izquierda), el 21 de enero (centro) y el 31 de enero de 2026 (derecha). Fuente: Pacific Maritime Environmental Laboratory (PMEL)-NOAA

Durante enero en los niveles sub-superficiales del Pacífico ecuatorial, se observaron temperaturas inferiores a las normales al este de 180°O, desde superficie hasta 100 m de profundidad aproximadamente (Figura 4). Por otro lado, se observaron anomalías cálidas al oeste de 160° entre los 100 y 200 m de profundidad.

VIENTOS ALISIOS

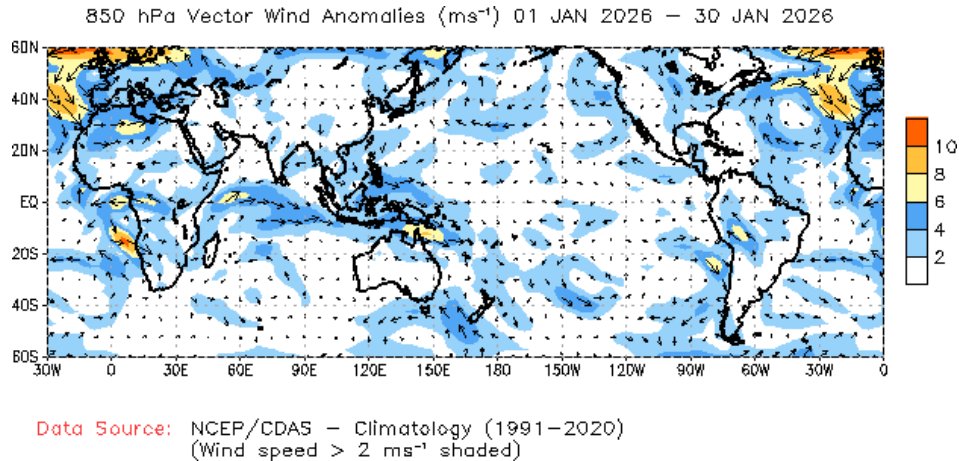


Figura 5 - Anomalías de viento zonal en 850 hPa, promediado del 1 al 30 de enero de 2026 - Fuente: Climate Prediction Center (CPC)-NOAA

Los primeros días del mes de enero de 2026, las anomalías del viento zonal en 850 hPa en el océano Pacífico ecuatorial mostraron, en promedio, alisios debilitados (anomalías positivas) entre 140°O y 160°E (Figuras 5 y 6). La última semana del mes los vientos alisios volvieron a debilitarse en dicha región.

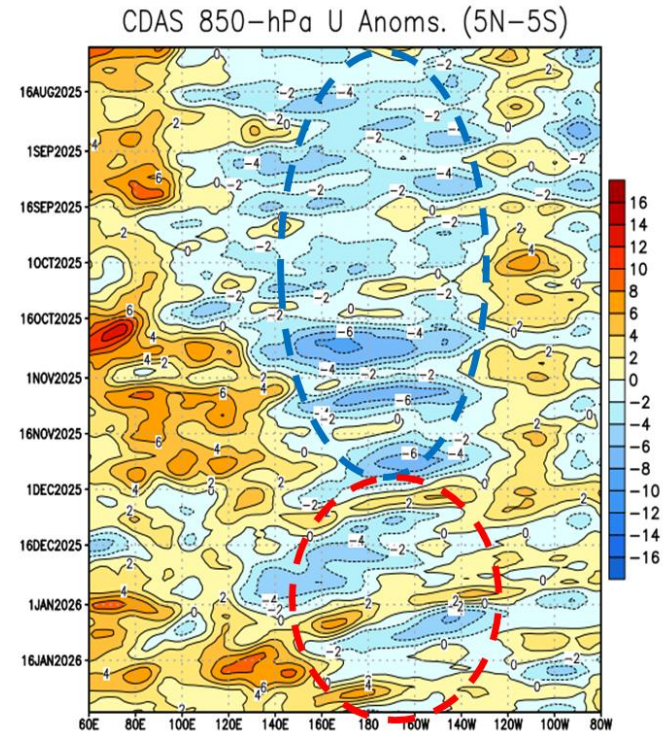


Figura 6 - Anomalías de viento zonal promediado en la región $5^{\circ}\text{S}-5^{\circ}\text{N}$ del 01 de agosto de 2025 al 31 de enero de 2026 - Fuente: Climate Prediction Center (CPC)-NOAA

CONVECCIÓN

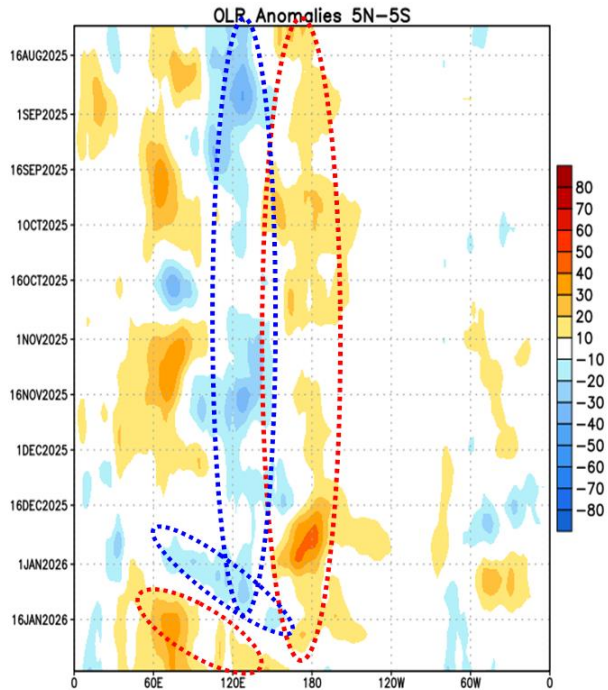


Figura 7 – Anomalías de radiación de onda larga saliente (OLR) promedio en la región 5°S-5°N, desde agosto de 2025 hasta el 31 de enero de 2026- Fuente: Climate Prediction Center (CPC)-NOAA

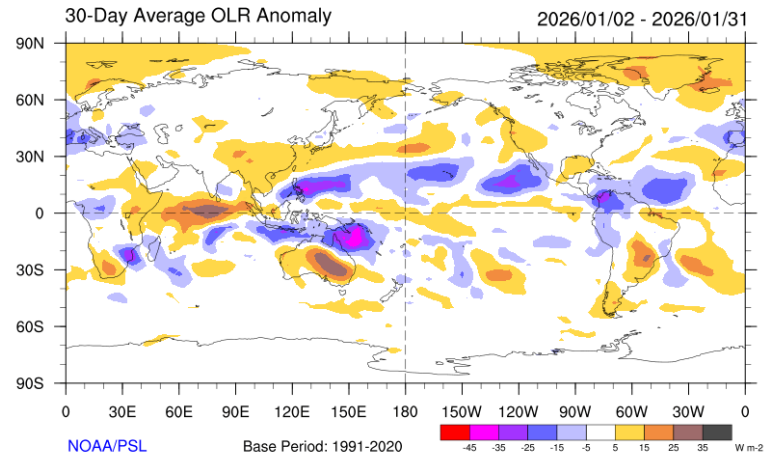


Figura 8 – Promedio de anomalías de radiación de onda larga saliente (OLR) del 2 al 31 de enero de 2026 - Fuente: NOAA-CIRES/CDC

Durante enero la actividad convectiva en el océano Pacífico ecuatorial fue inferior a la normal alrededor de la línea de fecha y superior a la normal en el norte de Australia y en la región de Indonesia (Figuras 7 y 8 – Los valores negativos (positivos) de OLR están asociados a mayor (menor) actividad convectiva).

ÍNDICE DE OSCILACIÓN DEL SUR E ÍNDICE OCEÁNICO DE EL NIÑO

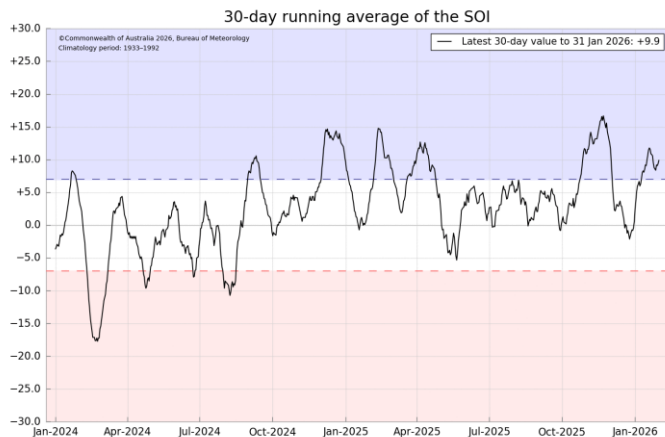


Figura 9 – Índice de oscilación del sur: promedio móvil de 30 días (Fuente: Bureau of Meteorology (BOM))

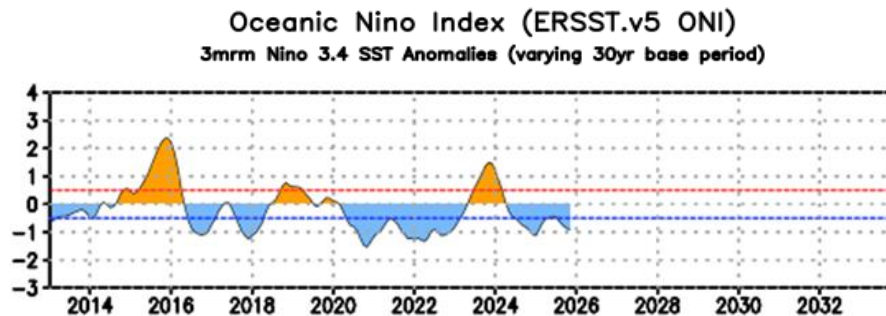


Figura 10 – Índice Oceánico de El Niño (Fuente: Climate Prediction Center (CPC)-NOAA)

El Índice de Oscilación del Sur (IOS) como promedio móvil de 30 días, fue en aumento respecto al mes anterior y oscila entre valores correspondientes son fase La Niña (Figura 9). El último valor disponible al 31 de enero es de +9,9.

En cuanto al Índice Oceánico de El Niño (ONI, por sus siglas en inglés) en el trimestre octubre-noviembre-diciembre de 2025 tuvo un valor de -0.9°C (Figura 10), acorde a condiciones La Niña.

PREDICIONES

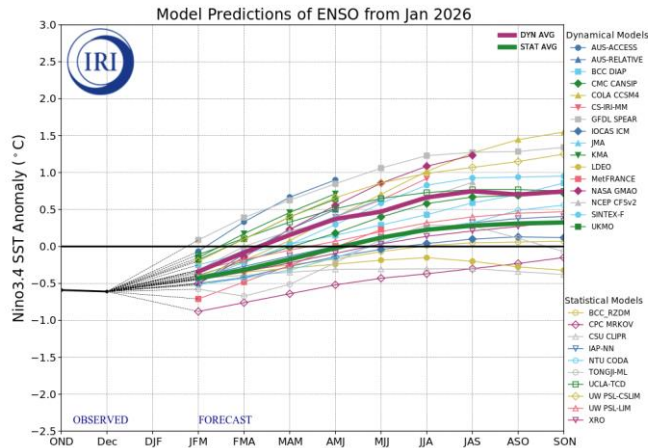


Figura 11 – Pronóstico de anomalías de TSM en la región Niño 3.4. Fuente: IRI.

Los pronósticos computacionales en la región Niño 3.4 prevén, en promedio, TSM inferiores a sus valores normales en el trimestre febrero - marzo - abril 2026 (FMA). El valor promedio de todos los modelos para dicho trimestre es de -0.1°C , lo cual refleja condiciones neutrales (Figura 11).

Official NOAA CPC ENSO Probabilities (issued January 2026)

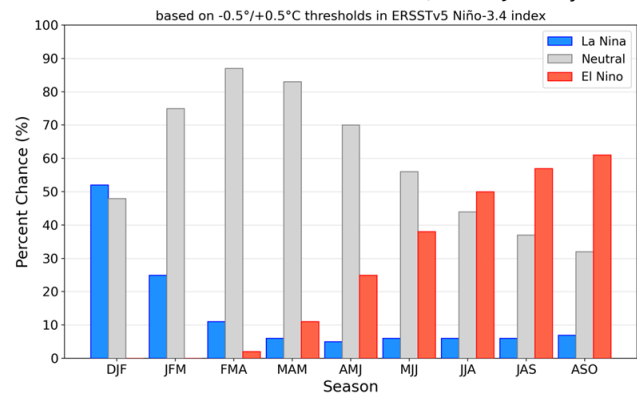


Figura 12 – Pronóstico probabilístico de anomalías de TSM en la región Niño 3.4. - Fuente: IRI.

Por otro lado, y expresado en valores probabilísticos (Figura 12), existen probabilidades entre 80% y 90% de transición hacia condiciones neutrales en la región Niño 3.4 en el trimestre FMA 2026.



Ministerio
de Defensa
República Argentina

Dorrego 4019 (C1425GBE) Buenos Aires . Argentina
Tel: (+54 11) 5167-6767 . smn@smn.gov.ar

www.smn.gov.ar

